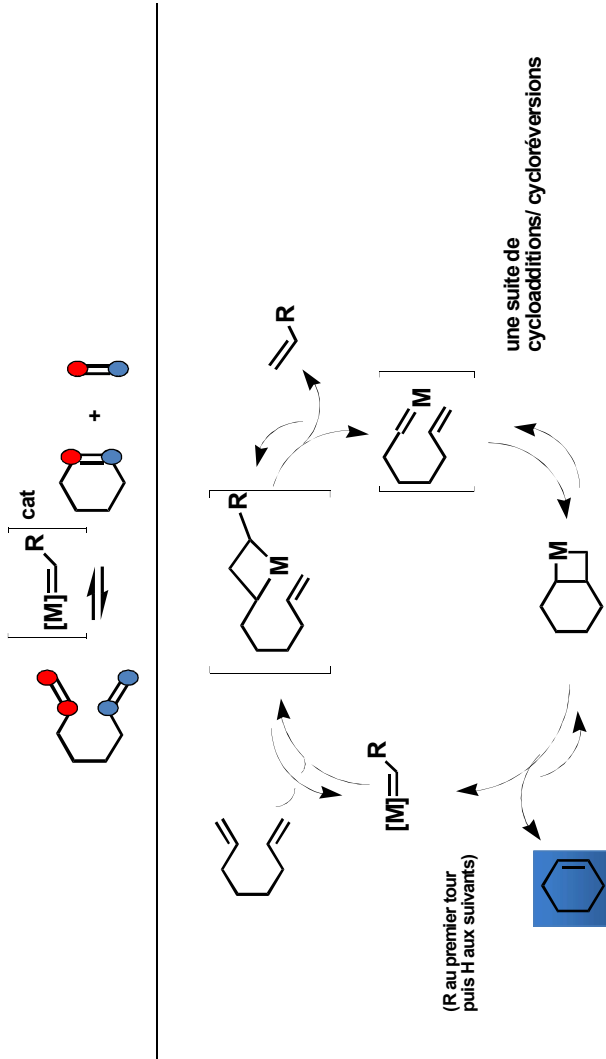


II – Catalyse organométallique asymétrique homogène

4 – formation de liaisons C–C énantiösélective

\mathcal{M}_o \mathcal{R}_u

Métathèse cyclisante de diènes (Ring Closing Metathesis RCM)

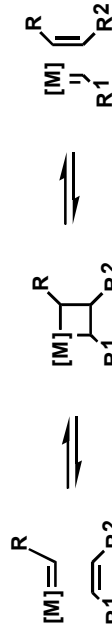


II – Catalyse organométallique asymétrique homogène

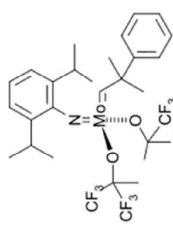
4 – formation de liaisons C–C énantiösélective

\mathcal{M}_o \mathcal{R}_u

Métathèse croisée d'oléfines



1980 – 1990 Synthèse et utilisation de catalyseurs homogènes, complexes monomoléculaires "définis" $[(\text{CO})_5\text{W}=\text{CPh}_2]_{\dots}$

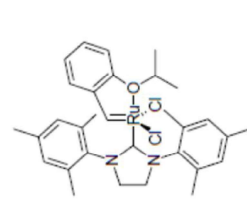


R.R. Schrock (Nobel Chimie 2005)

1992 Alkylidènes de Ruthénium:
(phosphine)₂ $\text{Cl}_2\text{Ru}=\begin{matrix} \text{R} \\ \diagup \\ \diagdown \end{matrix}$

Grubbs et al., J. Am. Chem. Soc. 1992, 114, 3974.

R.H. Grubbs (Nobel Chimie 2005)



II – Catalyse organométallique asymétrique homogène

4 – formation de liaisons C–C énantioméselective

Mo

Métathèse cyclisante de diènes (Ring Closing Metathesis RCM)

Dédoublement cinétique de substrats chiraux racémiques

Table 1. Mo-Catalyzed Kinetic Resolution of Allylic Ethers^a

entry	substrate	temp (°C), time	conv ^b (%)		k _{rel}
			unreacted	subs. ee (%) ^c	
1	(±)-2a, R = n-Pent	-25, 6 h	63	92	10
2	(±)-2b, R = i-Bu	-25, 10 h	56	95	23
3	(±)-2c, R = Cyhex	-25, 7 h	62	98	17
4	(±)-2d, R = Ph	22, 8 min	64	97	13
		-25, 6 h	56	75	8

Hoveyda, Schrock et al. *J. Am. Chem. Soc.* **1998**, *120*, 9720

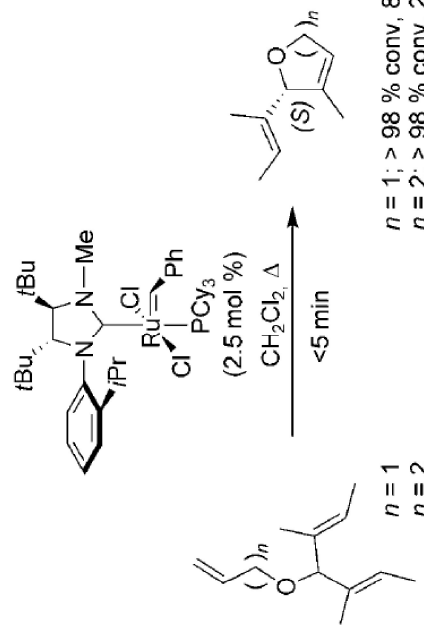
II – Catalyse organométallique asymétrique homogène

4 – formation de liaisons C–C énantioméselective

Ru

Métathèse cyclisante de diènes (Ring Closing Metathesis RCM)

Désymétrisation énantioméselective



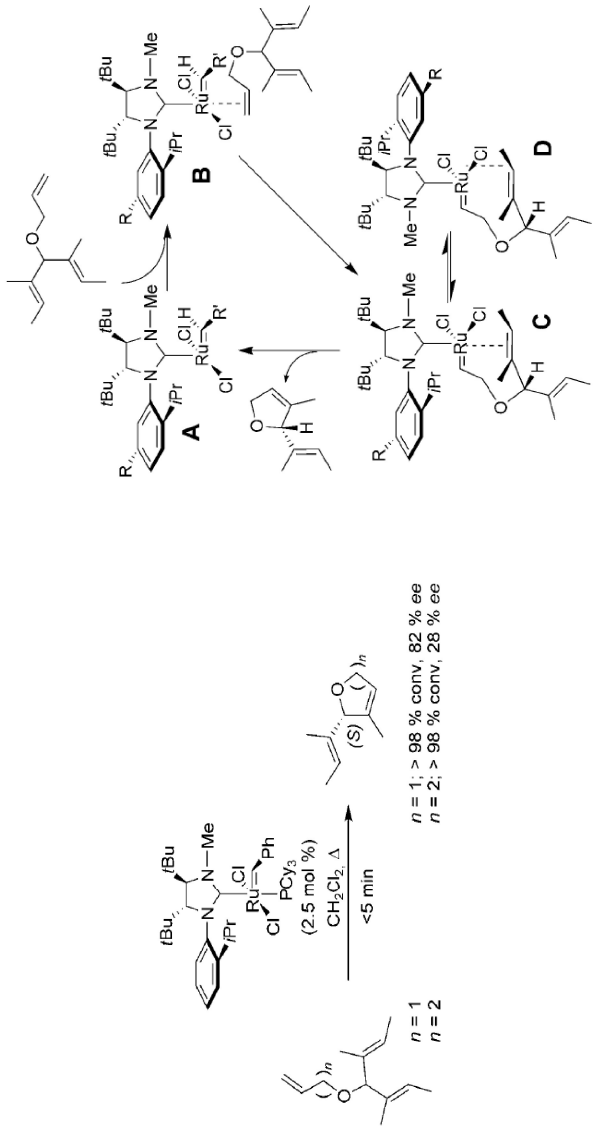
Collins et al. *Organometallics*, **2007**, *26*, 2945 ; *Chem. Eur. J.* **2008**, *14*, 8690.

II – Catalyse organométallique asymétrique homogène

4 – formation de liaisons C–C énantiосélective

Métathèse cyclisante de diènes (Ring Closing Metathesis RCM)

Désymétrisation énantiосélective



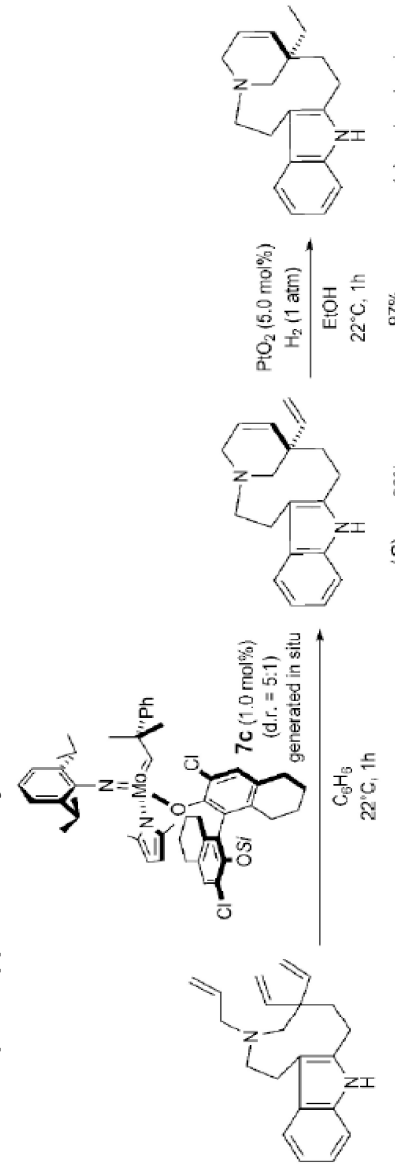
II – Catalyse organométallique asymétrique homogène

4 – formation de liaisons C–C énantiосélective

Métathèse cyclisante de diènes (Ring Closing Metathesis RCM)

Désymétrisation énantiосélective

Exemple d'application en synthèse



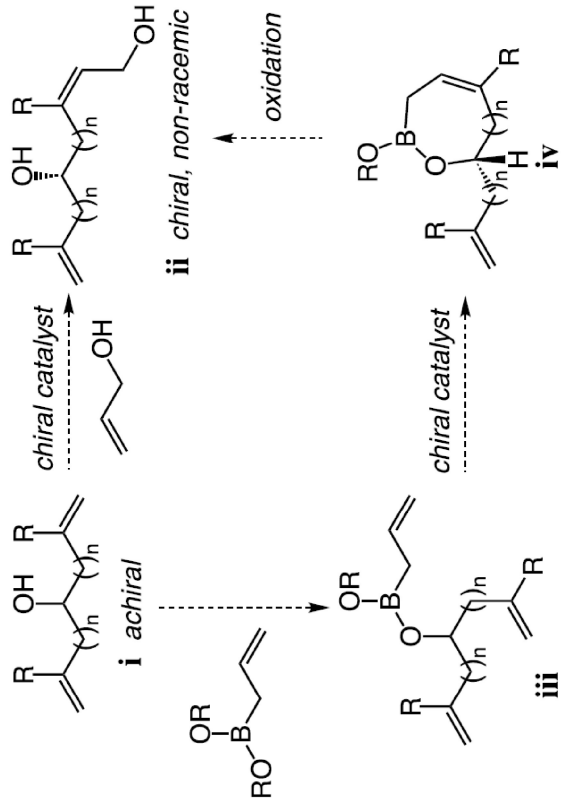
II – Catalyse organométallique asymétrique homogène

4 – formation de liaisons C–C énantiostélective

Métathèse croisée d'oléfines

Désymétrisation énantiostélective

RCM avec allylboronate : alternative de la métathèse croisée



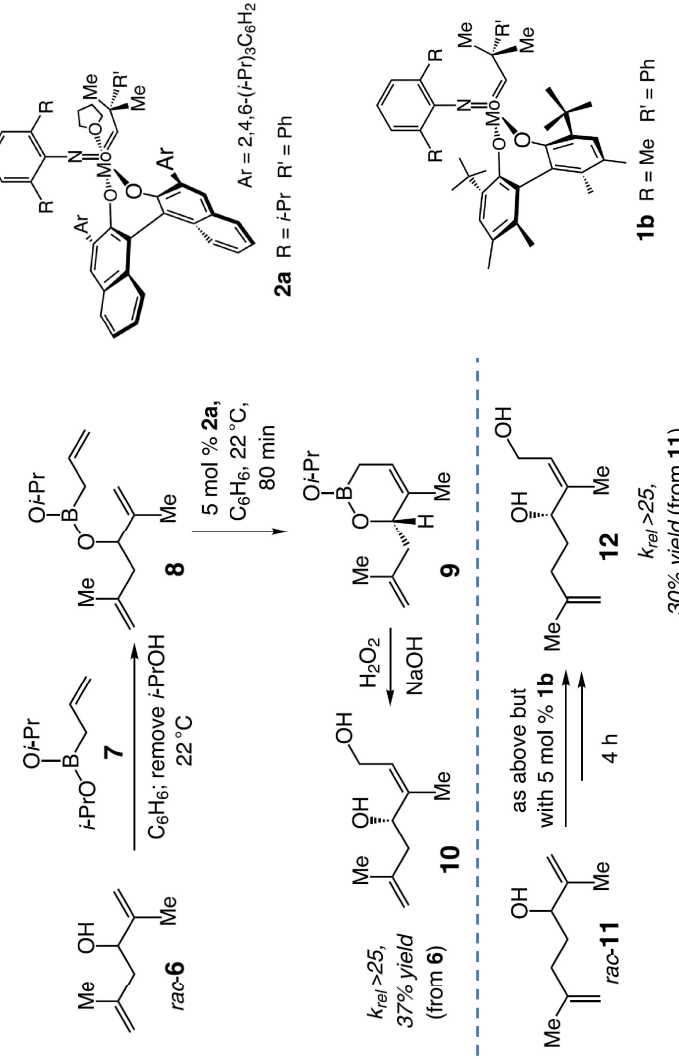
Hoveyda et al. *Tetrahedron* 2004, 60, 7345

II – Catalyse organométallique asymétrique homogène

4 – formation de liaisons C–C énantiostélective

Métathèse croisée d'oléfines

Dédoubllement cinétique



Hoveyda et al. *Tetrahedron* 2004, 60, 7345

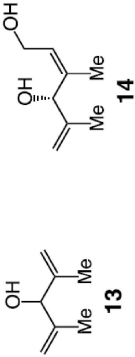
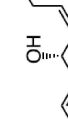
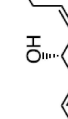
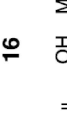
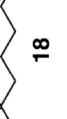
II – Catalyse organométallique asymétrique homogène

4 – formation de liaisons C–C énantiösélective

Métathèse croisée d'oléfines

Désymétrisation énantiösélective

Table 1. Mo-catalyzed one-pot net ACM reactions^a

Entry	Substrate	Product	Catalyst	Time (h)	Conv. (%) ^b	yield (%) ^c	ee (%) ^d
1				2a	12	78; 57	>98
2				1c	1	90; 58	>98
3				19	14	80; 64	>89
4				4	24	80; 38 ^e	>98

^a Conditions: 5 mol% chiral catalyst, C₆H₆, 22 °C.

^b Hoveyda et al. *Tetrahedron* 2004, 60, 7345

^c

^d

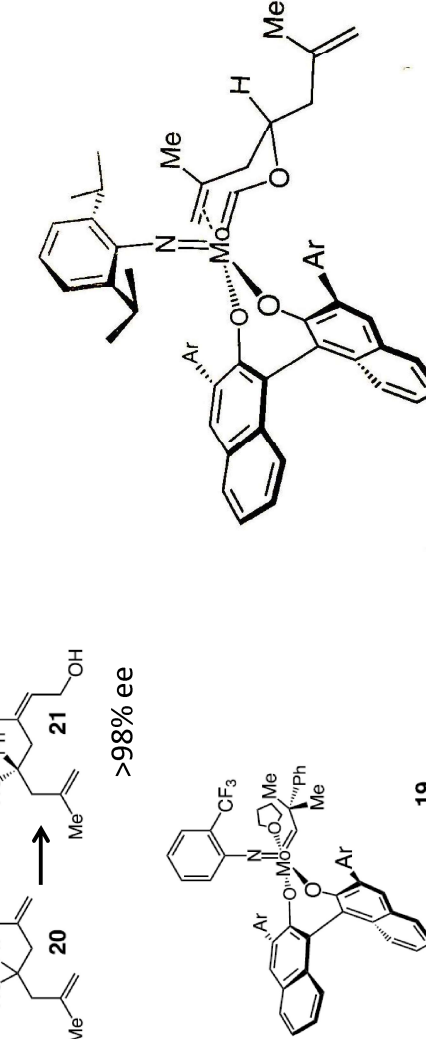
II – Catalyse organométallique asymétrique homogène

4 – formation de liaisons C–C énantiösélective

Métathèse croisée d'oléfines

Désymétrisation énantiösélective

Etat de transition proposé



Ar = 2,4,6-(i-Pr)₃C₆H₃

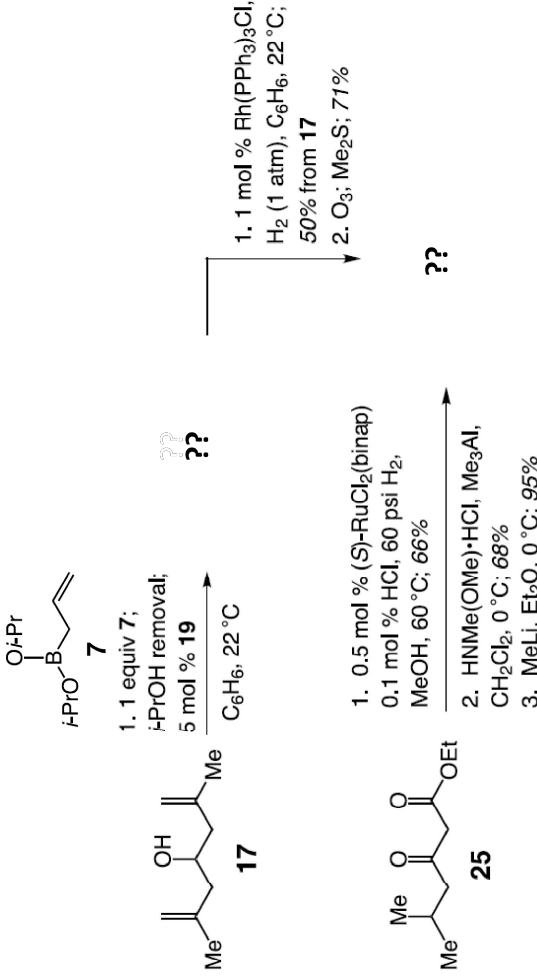
II – Catalyse organométallique asymétrique homogène

4 – formation de liaisons C–C énantiostélective

Métathèse croisée d'oléfines

Désymétrisation énantiostélective

Mo



Hoveyda et al. *Tetrahedron* 2004, 60, 7345

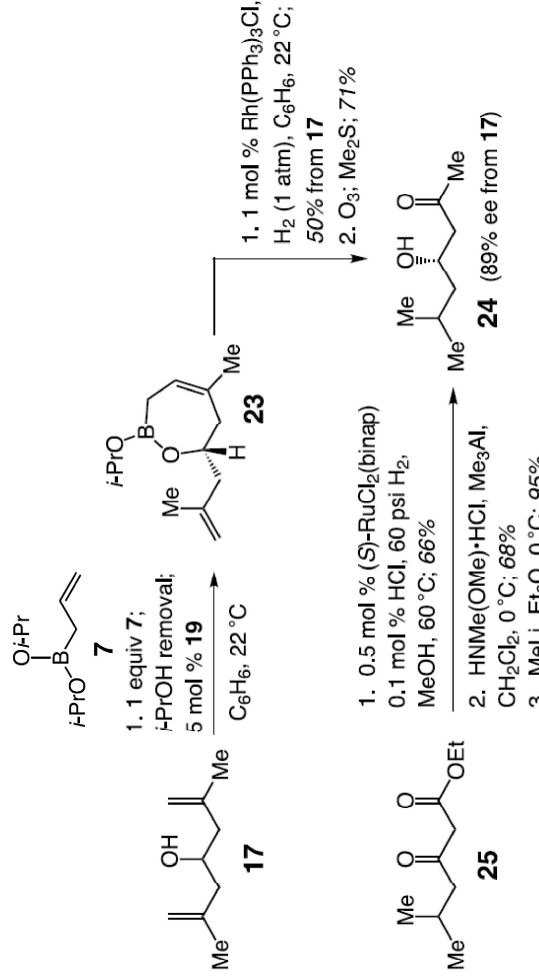
II – Catalyse organométallique asymétrique homogène

4 – formation de liaisons C–C énantiostélective

Métathèse croisée d'oléfines

Désymétrisation énantiostélective

Mo



Hoveyda et al. *Tetrahedron* 2004, 60, 7345

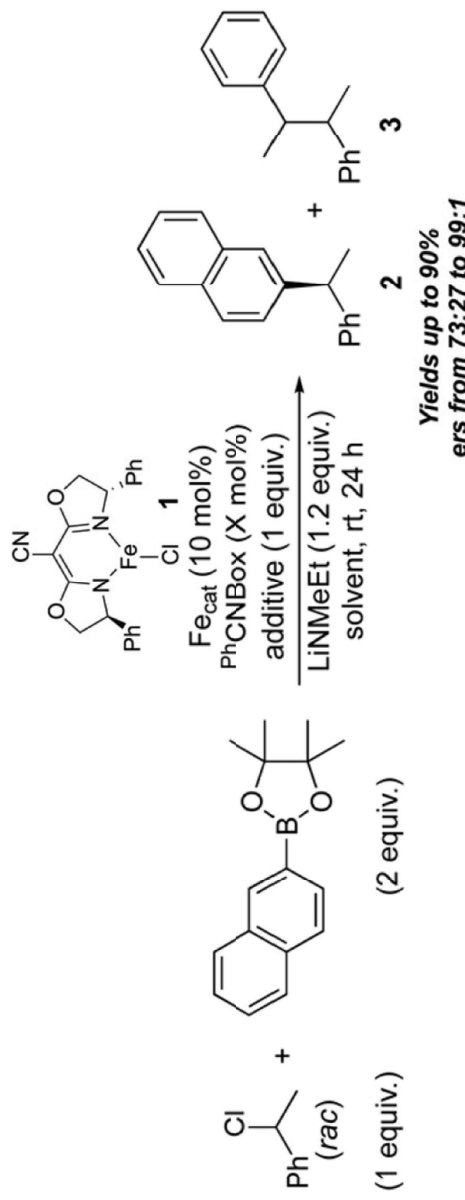
II – Catalyse organométallique asymétrique homogène

4 – formation de liaisons C–C énantiomélective

Couplage croisé de Suzuki-Miyaura

Iron-catalysed enantioconvergent Suzuki–Miyaura cross-coupling to afford enantioenriched 1,1-diarylkanes[†]

Chet C. Tyrol,* Nang S. Yone, Connor F. Gallin and Jeffery A. Byers 

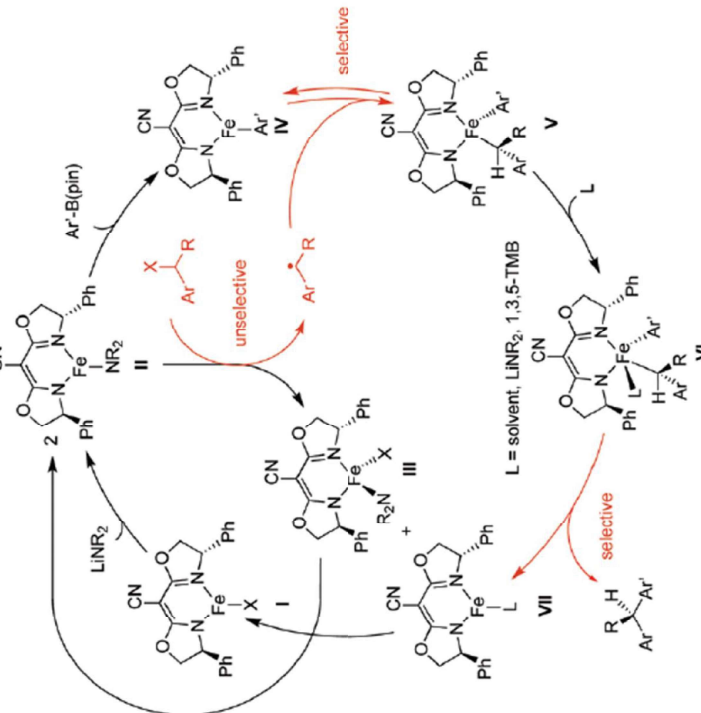


Chem. Commun., 2020, **56**, 14661–14664

II – Catalyse organométallique asymétrique homogène

4 – formation de liaisons C–C énantiomélective

Couplage croisé de Suzuki-Miyaura



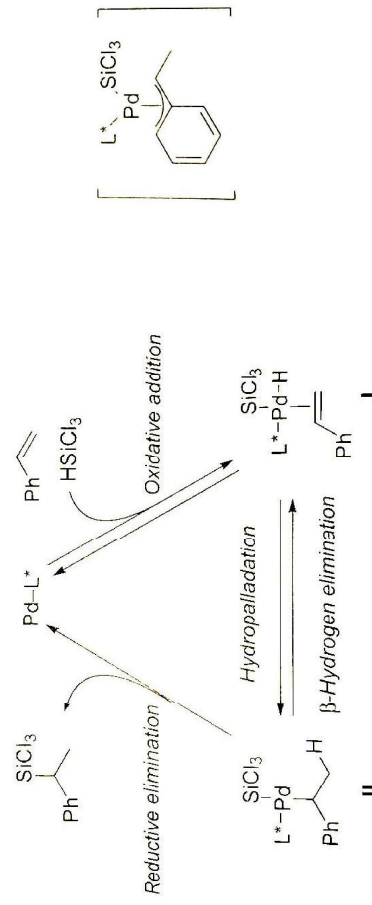
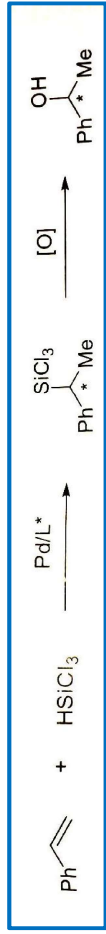
Chem. Commun., 2020, **56**, 14661–14664

II – Catalyse organométallique asymétrique homogène

5 – formation de liaisons C–X énantiomélective

Pd

Hydrosilylation des styrènes



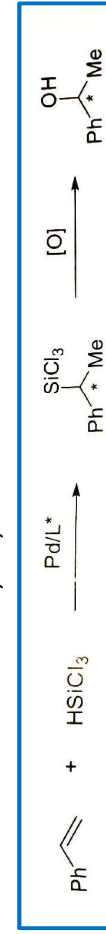
II – Catalyse organométallique asymétrique homogène

5 – formation de liaisons C–X énantiomélective

Pd

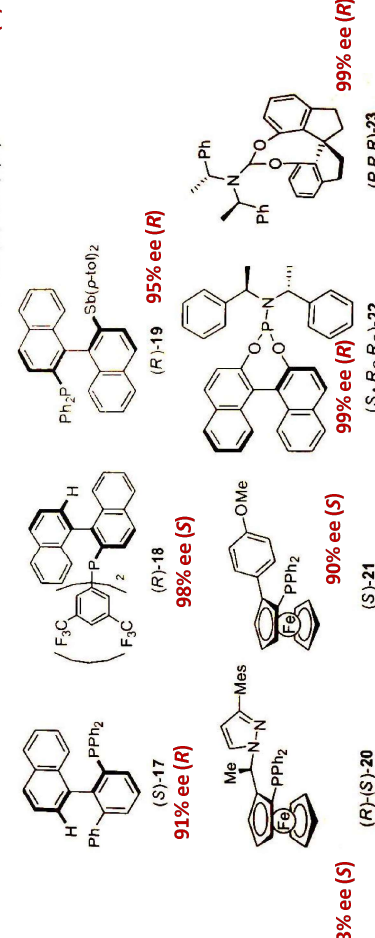
Hydrosilylation des styrènes

0,1-0,25 mol% cat*



Monophosphines chirales plus réactives et plus énantiomére sélectives que les diphosphines

11: (R)- <i>S</i> - <i>p</i> pfa	52% ee (<i>S</i>)	(S)-12	X = H: (S)-H-mop (13) X = OMe: (R)-MeO-mop (14) X = CN: (R)-CN-mop (15) X = Et: (S)-Et-mop (16)	94% ee (<i>R</i>) 14% ee (<i>R</i>) 26% ee (<i>R</i>) 18% ee (<i>R</i>)
17	91% ee (<i>R</i>)	(R)-18	Ph ₂ P	(R)-19 95% ee (<i>R</i>)
20	63% ee (<i>S</i>)	(R)-21	Me	(S _A ,R _C ,R _C)-22 99% ee (<i>R</i>) (R,R)-23 99% ee (<i>R</i>)



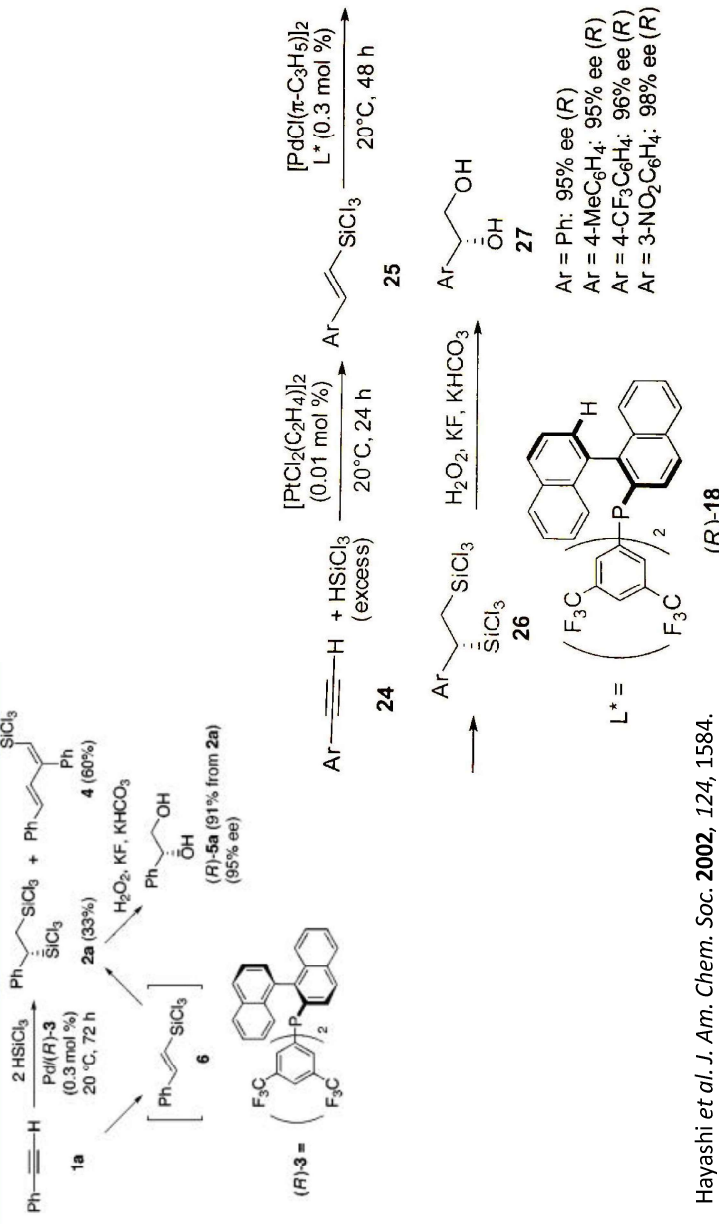
II – Catalyse organométallique asymétrique homogène

5 – formation de liaisons C–X énantiomélective

Pd

Pt

Hydrosilylation d'arylacétène

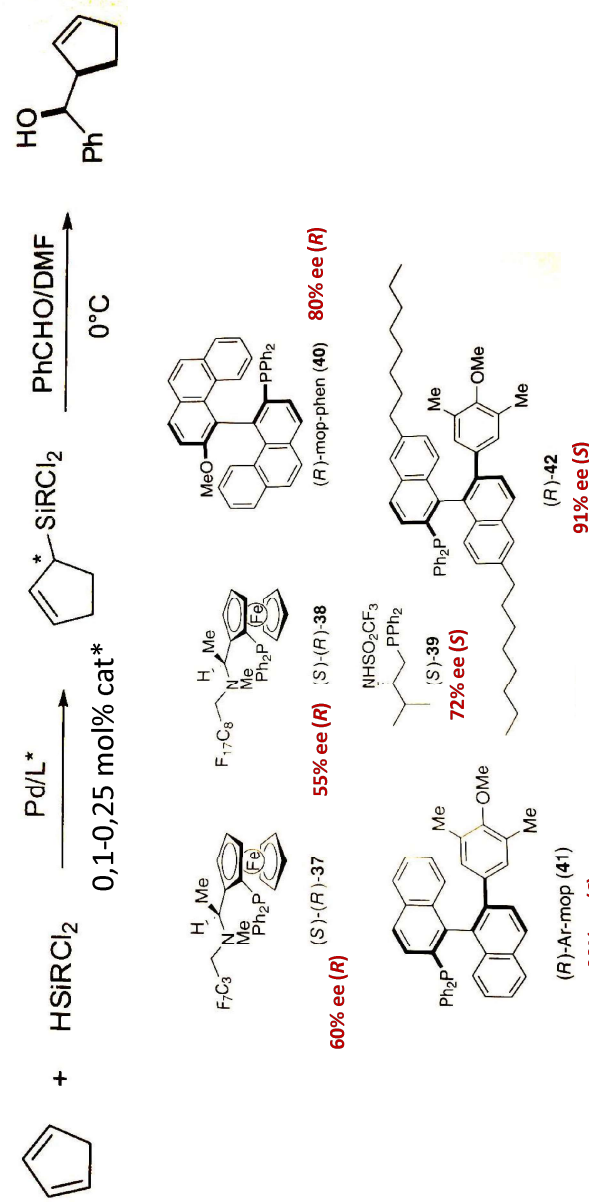


II – Catalyse organométallique asymétrique homogène

5 – formation de liaisons C–X énantiomélective

Pd

Hydrosilylation de 1,3-diènes

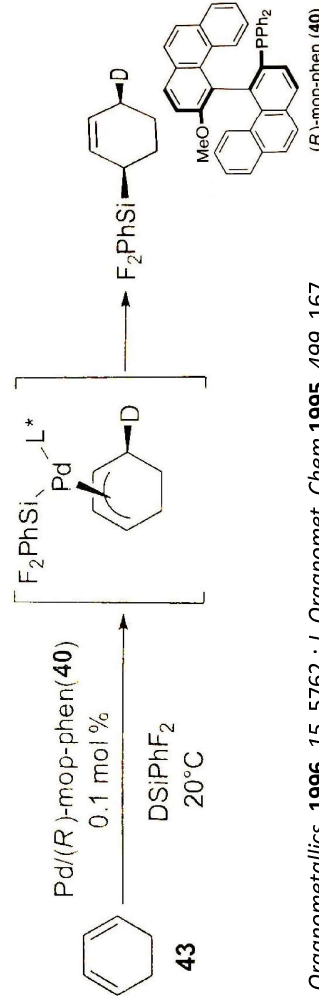
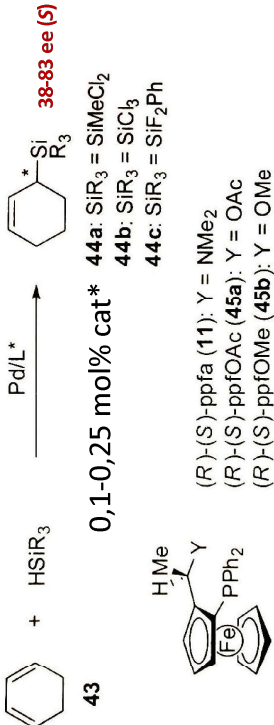


II – Catalyse organométallique asymétrique homogène

5 – formation de liaisons C–X énantiosélective

Pd

Hydrosilylation de 1,3-diènes



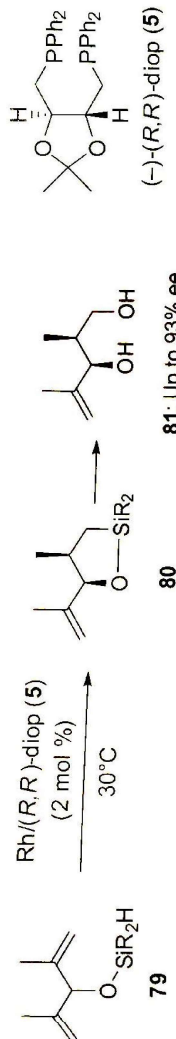
Hayashi *et al.* *Organometallics*. 1996, 15, 5762 ; *J. Organomet. Chem.* 1995, 499, 167

II – Catalyse organométallique asymétrique homogène

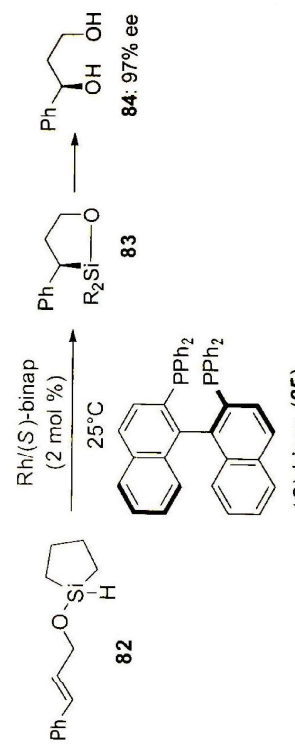
5 – formation de liaisons C–X énantiosélective

Rf

Hydrosilylation intramoléculaire



Nakayama *et al.* *TL* 1990, 31, 7333

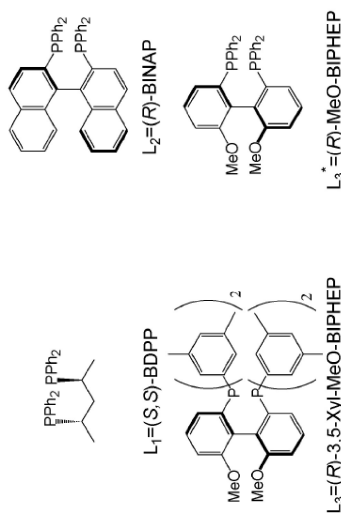
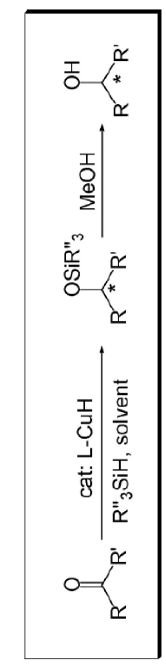


Nakayama *et al.* *TL* 1990, 31, 7333

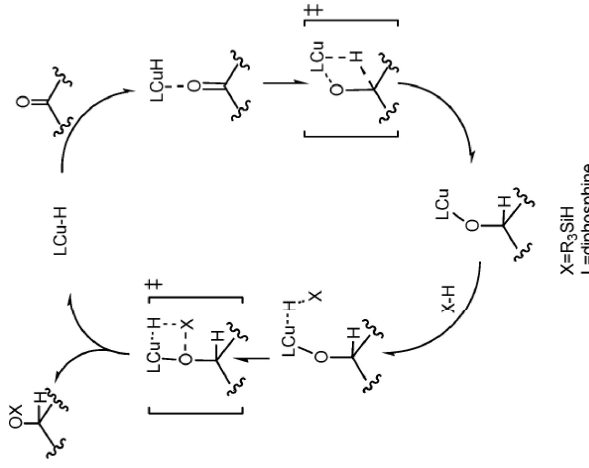
II – Catalyse organométallique asymétrique homogène

5 – formation de liaisons C–X énantiosélective

Hydrosilylation de cétones



Qin et al. *Org. Biomol. Chem.* 2012, 10, 597



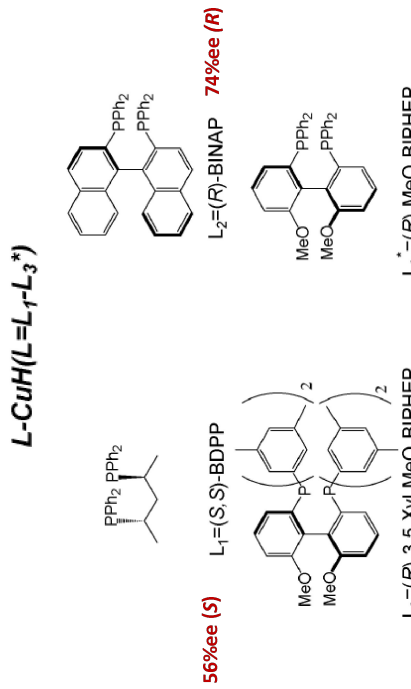
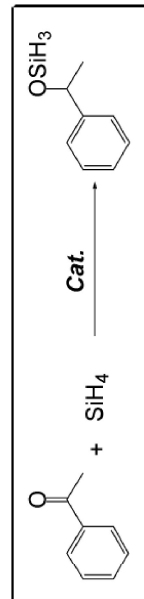
Cu

II – Catalyse organométallique asymétrique homogène

5 – formation de liaisons C–X énantiosélective

Cu

Hydrosilylation de cétones



Qin et al. *Org. Biomol. Chem.* 2012, 10, 597

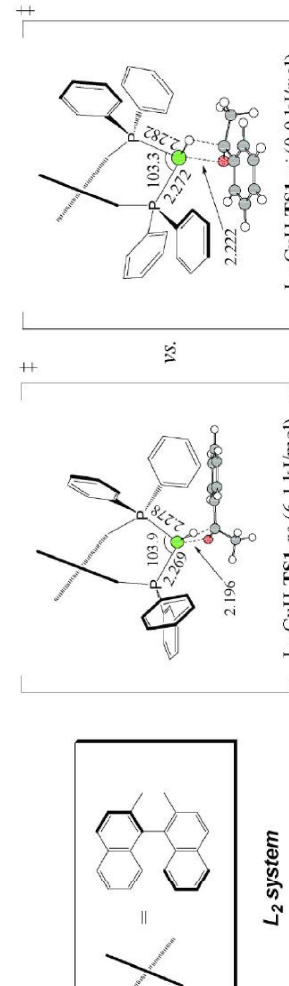
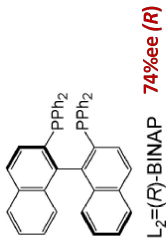
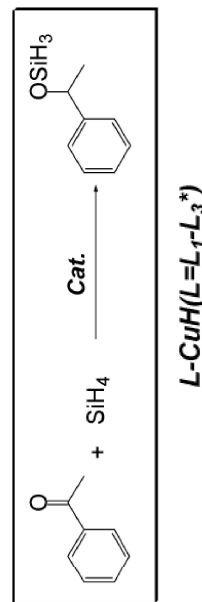
$\text{X=R}_3\text{SiH}$
 L=diphosphine

II – Catalyse organométallique asymétrique homogène

5 – formation de liaisons C–X énantiomérisélective

Cu

Hydrosilylation de cétones



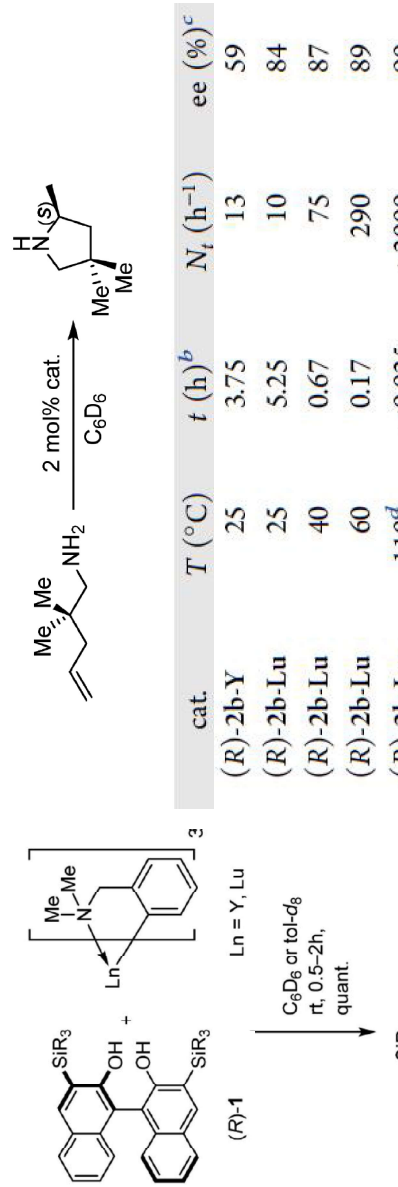
Qin et al. *Org. Biomol. Chem.* 2012, 10, 597

II – Catalyse organométallique asymétrique homogène

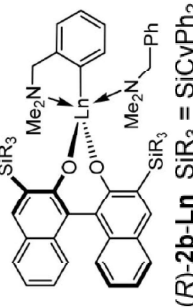
5 – formation de liaisons C–X énantiomérisélective

Y Lu

Hydroamination d'alcènes



Hultsch *Organometallics*. 2018, 37, 4358



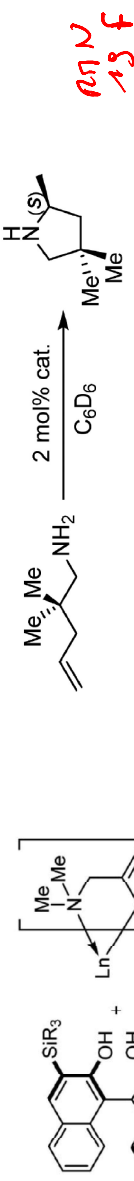
$(R)\text{-2b-Lu}$ SiR_3 $\text{Me}_2\text{N}-\text{CH}_2-\text{Ln}-\text{CH}_2-\text{NMe}_2$ SiR_3

II – Catalyse organométallique asymétrique homogène

5 – formation de liaisons C–X énantirosélective

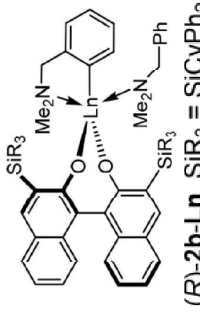
effet Thio-NiE-TIN60W

Hydroamination d'alcènes



	cat.	T (°C)	t (h) ^b	N _t (h ⁻¹)	ee (%) ^c
(R)-2b-Y	(R)-2b-Y	25	3.75	13	59
(R)-2b-Lu	(R)-2b-Lu	25	5.25	10	84
(R)-2b-Lu	(R)-2b-Lu	40	0.67	75	87
(R)-2b-Lu	(R)-2b-Lu	60	0.17	290	89
(R)-2b-Lu	(R)-2b-Lu	110 ^d	<0.025	>2000	90

Hultsch *Organometallics*. 2018, 37, 4358



(R)-2b-Lu SiR₃ = SiCyPh₂

(R)-2c-Lu SiR₃ = SiCyPh₂

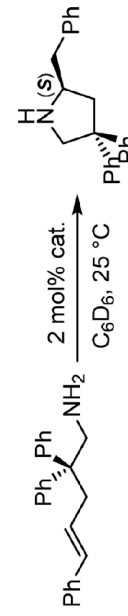
(R)-2c-Lu SiR₃ = Si(t-Bu)Ph₂

II – Catalyse organométallique asymétrique homogène

5 – formation de liaisons C–X énantirosélective

effet Thio-NiE-TIN60W

Hydroamination d'alcènes



	cat.	t (h) ^b	N _t (h ⁻¹)	ee (%) ^c
(R)-2b-Y	(R)-2b-Y	0.3	170	83
(R)-2b-Lu	(R)-2b-Lu	0.75	67	88
(R)-2c-Y	(R)-2c-Y	1.0	50	92
(R)-2c-Lu	(R)-2c-Lu	1.75	28	96

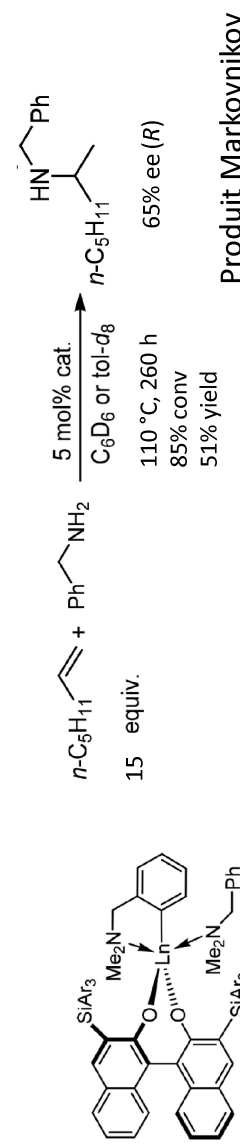
Hultsch *Organometallics*. 2018, 37, 4358

II – Catalyse organométallique asymétrique homogène

5 – formation de liaisons C–X énantirosélective

Y

Hydroamination d'alcènes



$(R)\text{-IIIa-Y}$ $\text{Ar} = \text{Ph}$

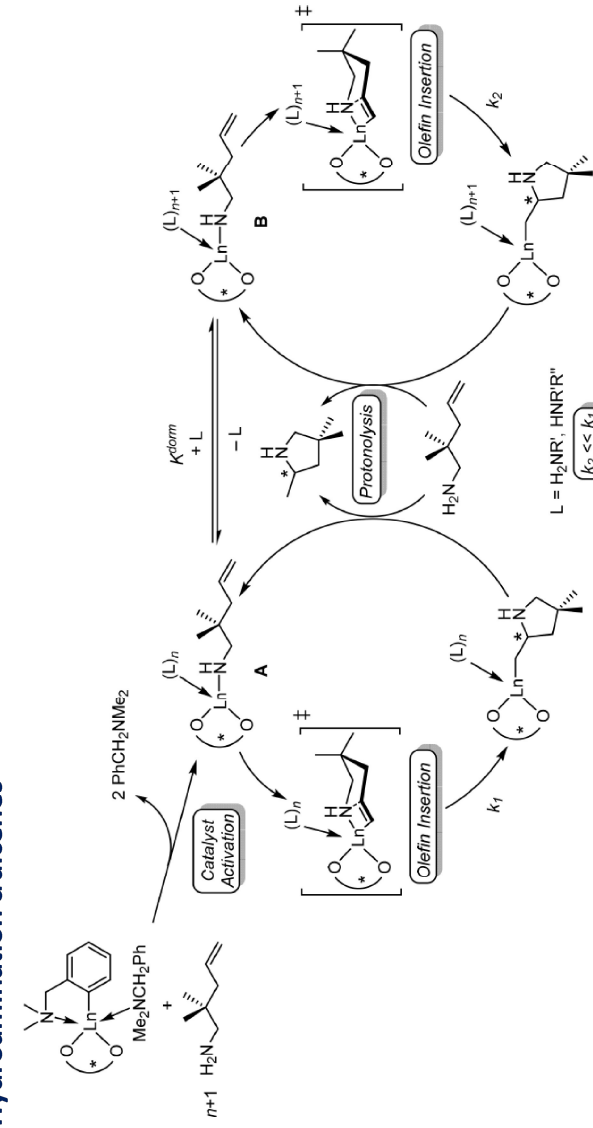
Hultzsch *Organometallics*. 2018, 37, 4358

II – Catalyse organométallique asymétrique homogène

5 – formation de liaisons C–X énantirosélective

Y

Hydroamination d'alcènes



Les complexes **A** moins coordonnés sont plus actifs et plus sélectifs que les complexes **B**. L'équilibre est déplacé vers le complexe **A** lorsque la température augmente (facteur entropique).

Hultzsch *Organometallics*. 2018, 37, 4358

Y

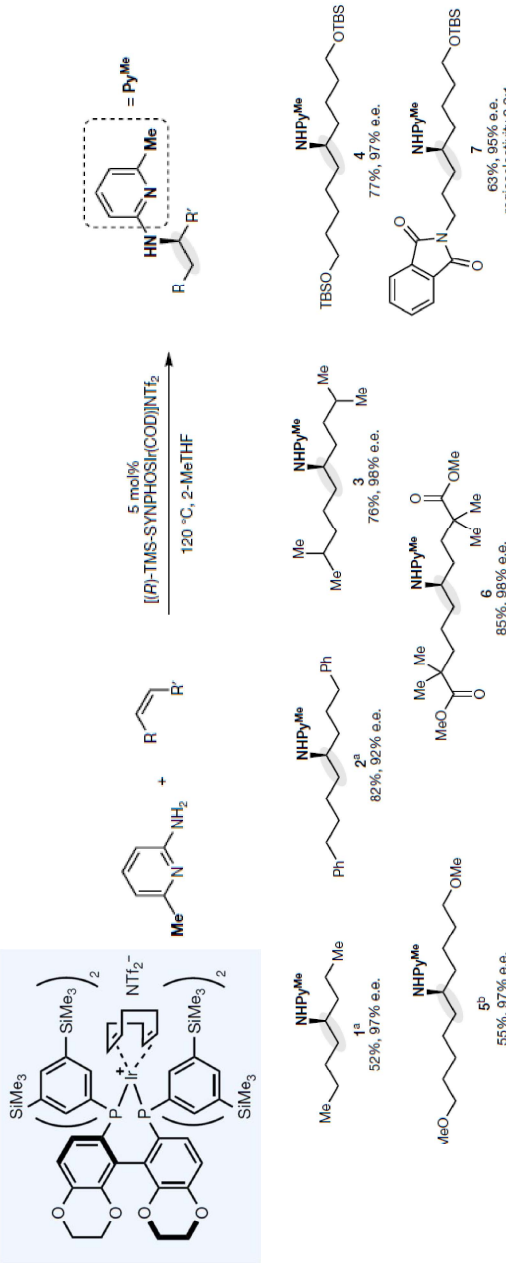
Lu

II – Catalyse organométallique asymétrique homogène

5 – formation de liaisons C–X énantirosélective

Ir

Hydroamination d'alcènes



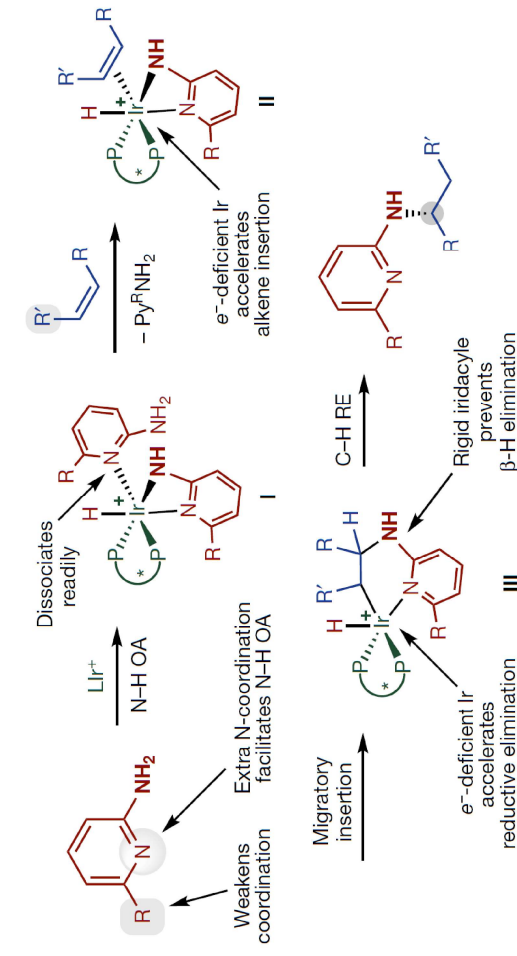
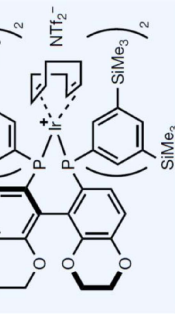
Hartwig *Nature*. 2020, 588, 254

II – Catalyse organométallique asymétrique homogène

5 – formation de liaisons C–X énantirosélective

Ir

Hydroamination d'alcènes



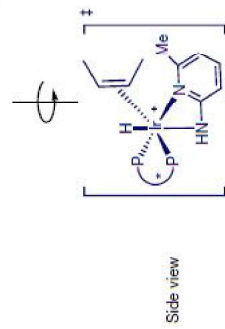
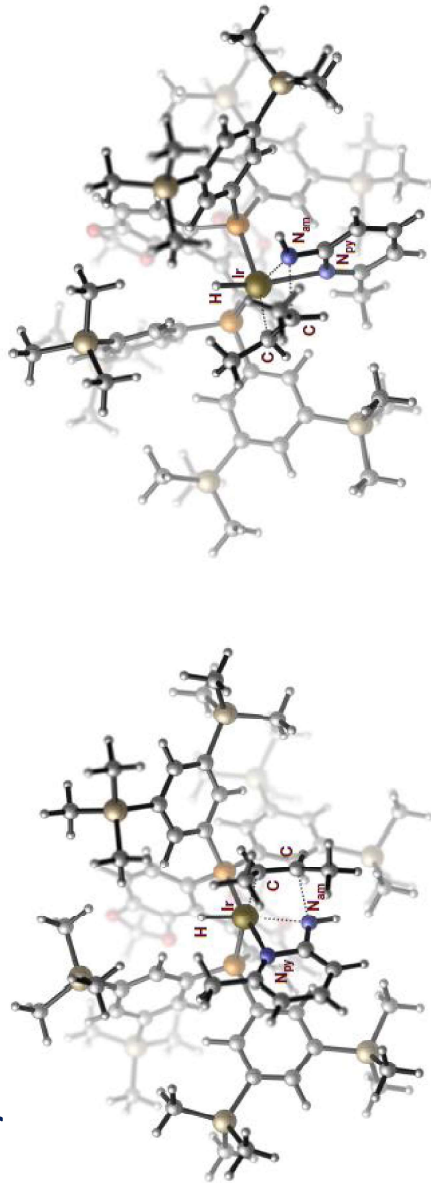
Hartwig *Nature*. 2020, 588, 254

II – Catalyse organométallique asymétrique homogène

5 – formation de liaisons C–X énantiосélective

Ir

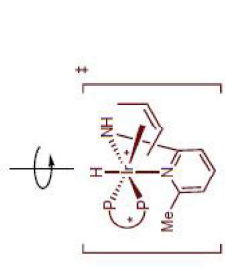
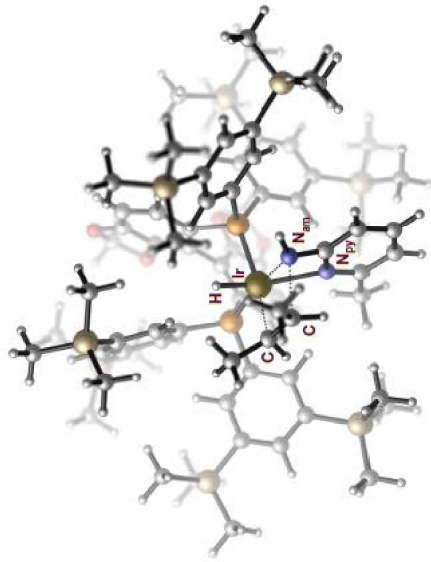
Hydroamination d'alcènes



$\Delta\Delta G^\ddagger = 0 \text{ kcal mol}^{-1}$

Complexe le plus stable et le plus réactif : donne le produit *R*

Hartwig *Nature*. 2020, 588, 254



$\Delta\Delta G^\ddagger = 4.1 \text{ kcal mol}^{-1}$

Hartwig *Nature*. 2020, 588, 254

Ru

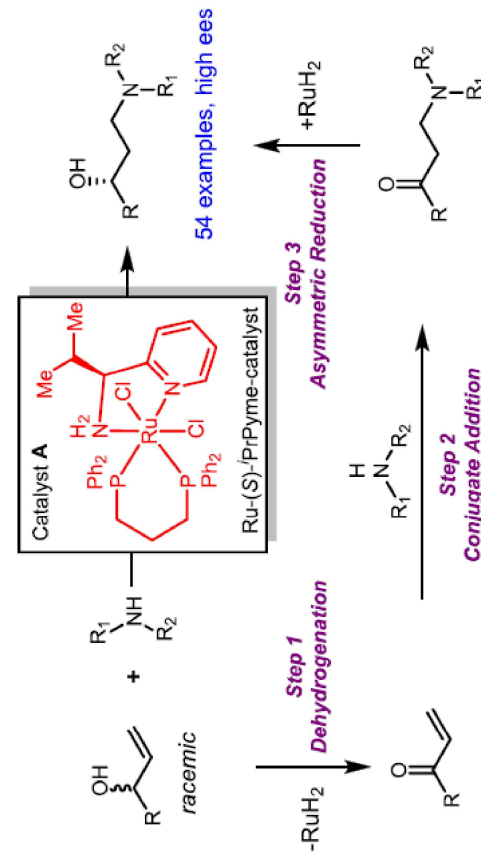
II – Catalyse organométallique asymétrique homogène

5 – formation de liaisons C–X énantiосélective

Ru

Hydroamination anti-Markovnikov formelle d'alcools allyliques

Borrowing-hydrogen process (*hydrogen autotransfer*)

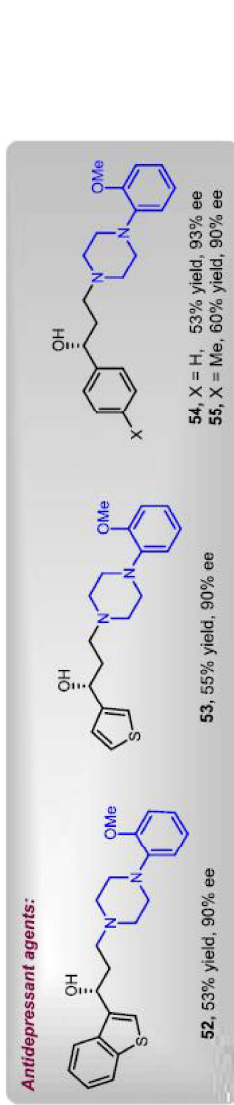
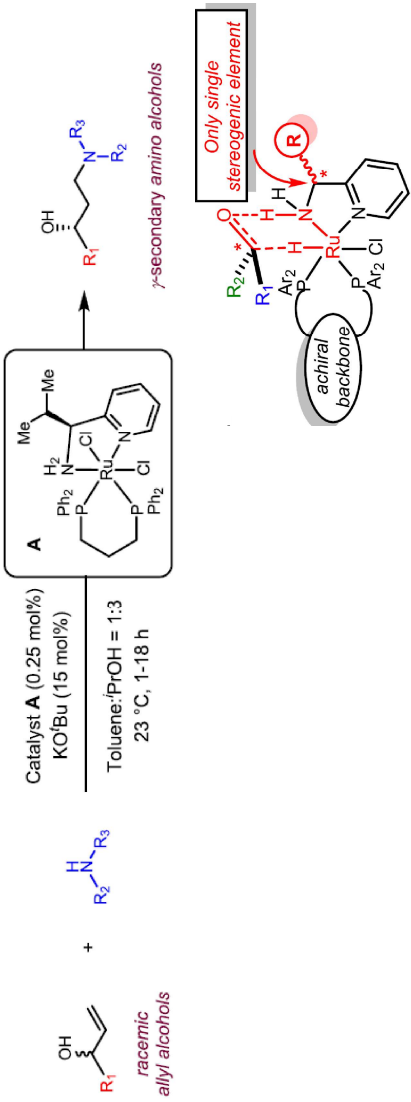


II – Catalyse organométallique asymétrique homogène

5 – formation de liaisons C–X énantiosélective

Ru

Hydroamination anti-Markovnikov formelle d’alcools allyliques



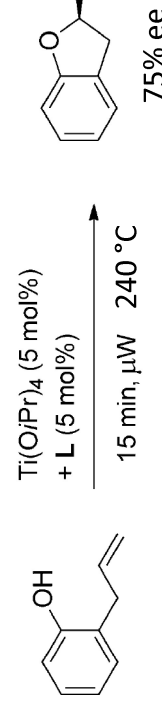
Xing Org. Lett. 2020, 22, 7278

II – Catalyse organométallique asymétrique homogène

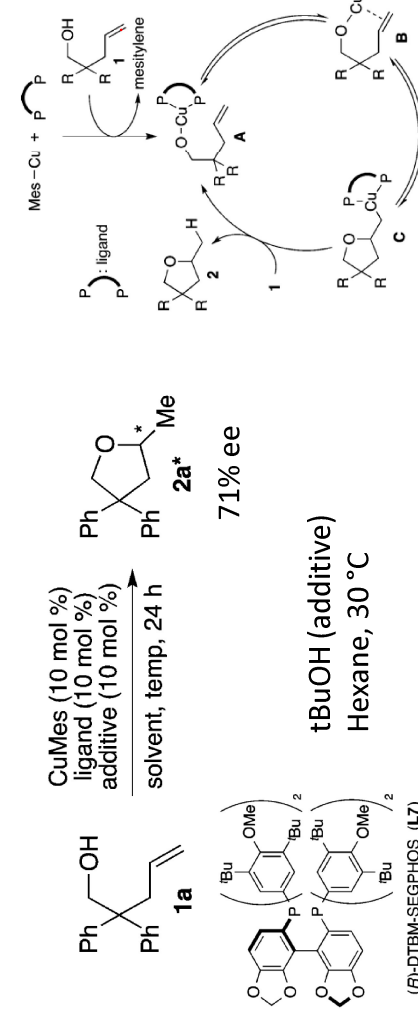
5 – formation de liaisons C–X énantiosélective

Ti

Hydroalcoxylation d’alcènes



Hintermann Angew. Chem. Int. Ed. 2015, 54, 4014



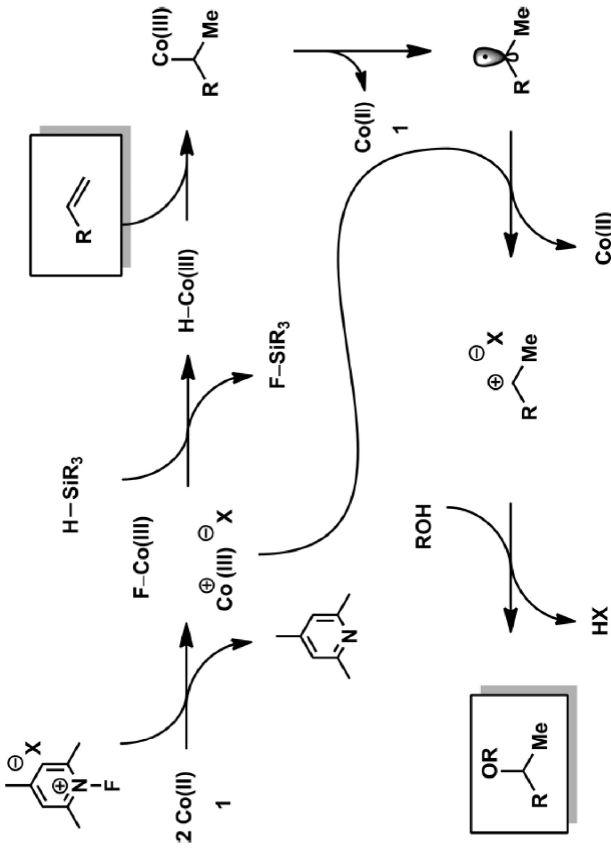
Sawamura Org. Lett. 2015, 17, 2039

II – Catalyse organométallique asymétrique homogène

5 – formation de liaisons C–X énantiomélective

Co

Hydroalcoxylation d'alcènes : Hydrogen Atom Transfer and Radical-Polar Crossover (HAT – PRC)



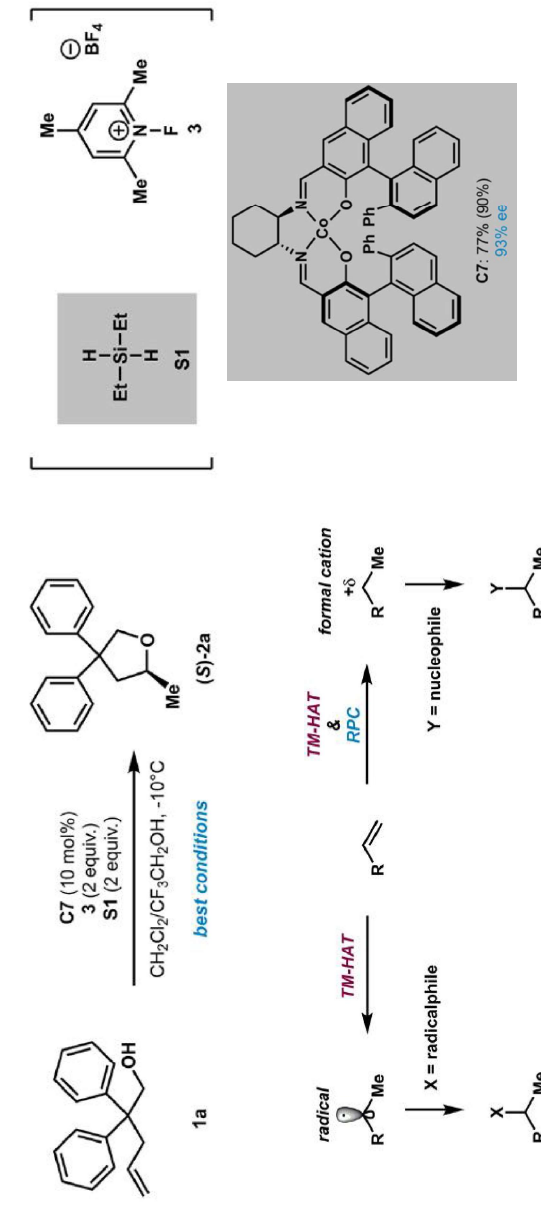
Shigeohisa *J. Am. Chem. Soc.* 2013, 135, 10306

II – Catalyse organométallique asymétrique homogène

5 – formation de liaisons C–X énantiomélective

Co

Hydroalcoxylation d'alcènes : Hydrogen Atom Transfer and Radical-Polar Crossover (HAT – PRC)

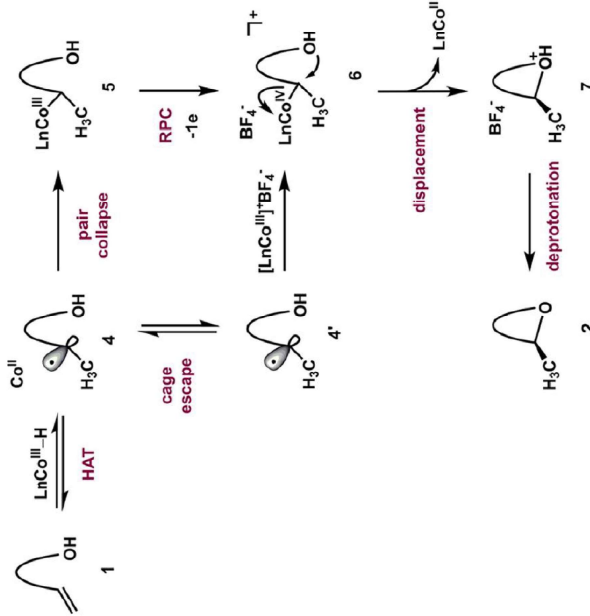


Shigeohisa *J. Am. Chem. Soc.* 2020, 142, 13481

II – Catalyse organométallique asymétrique homogène 5 – formation de liaisons C–X énantiomélective

Co

Hydroalcoxylation d'alcènes : Hydrogen Atom Transfer and Radical-Polar Crossover (HAT – PRC)

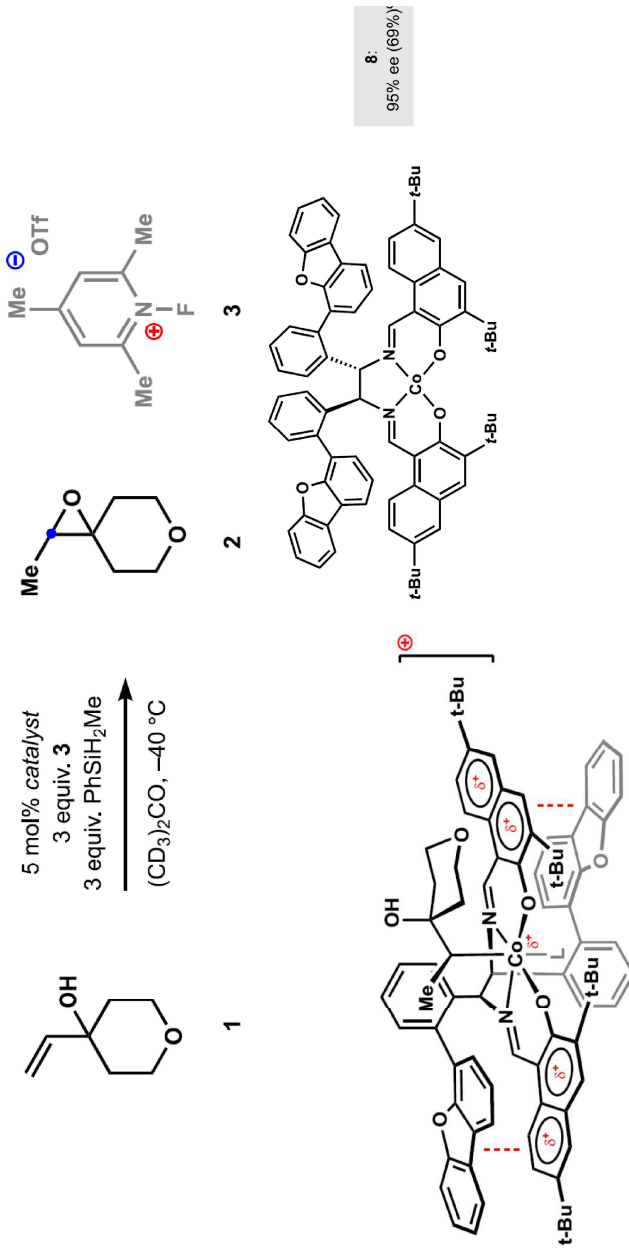


Shigehisa J. Am. Chem. Soc. 2020, 142, 13481

II – Catalyse organométallique asymétrique homogène 5 – formation de liaisons C–X énantiomélective

Co

Hydroalcoxylation d'alcènes : Hydrogen Atom Transfer and Radical-Polar Crossover (HAT – PRC)

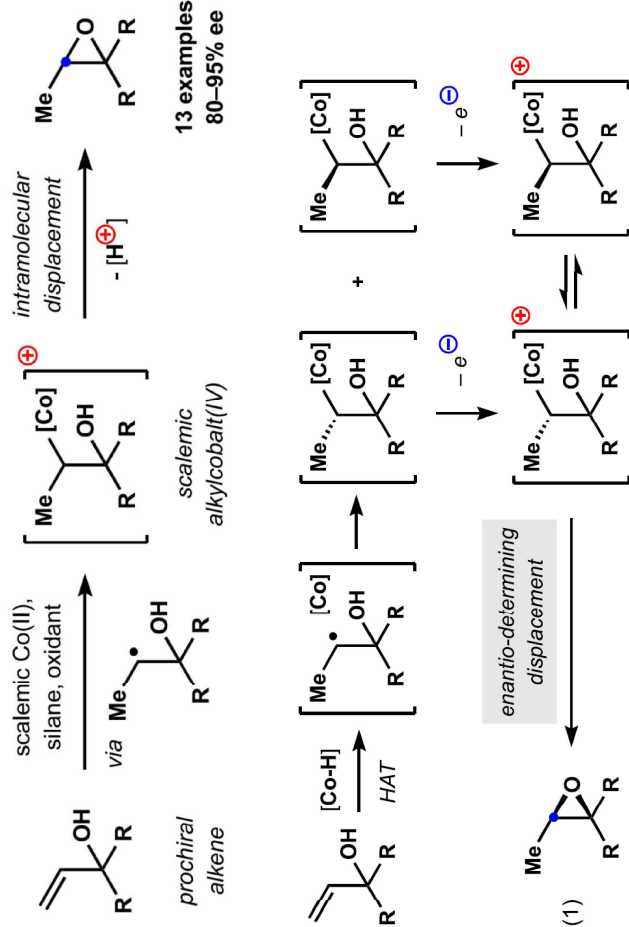


II – Catalyse organométallique asymétrique homogène

5 – formation de liaisons C–X énantiomélective

C_o

Hydroalcoxylation d'alcènes : Hydrogen Atom Transfer and Radical-Polar Crossover (HAT – PRC)



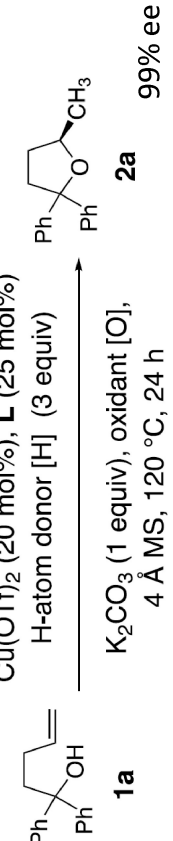
Pronin *J. Am. Chem. Soc.* 2019, 141, 17527

II – Catalyse organométallique asymétrique homogène

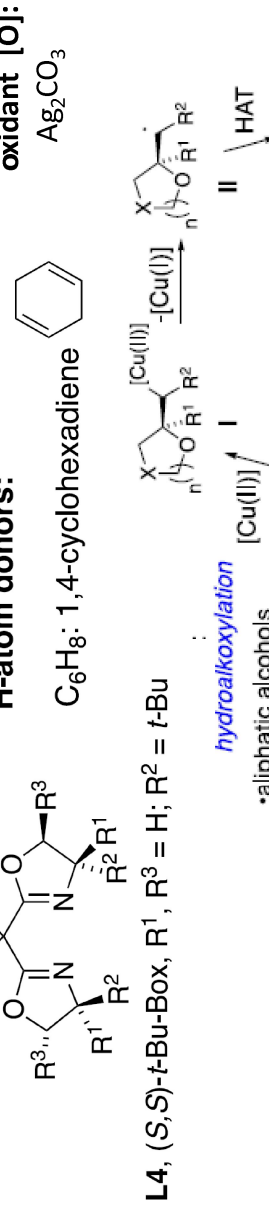
5 – formation de liaisons C–X énantiomélective

Cu

Hydroalcoxylation d'alcènes



Ligands:

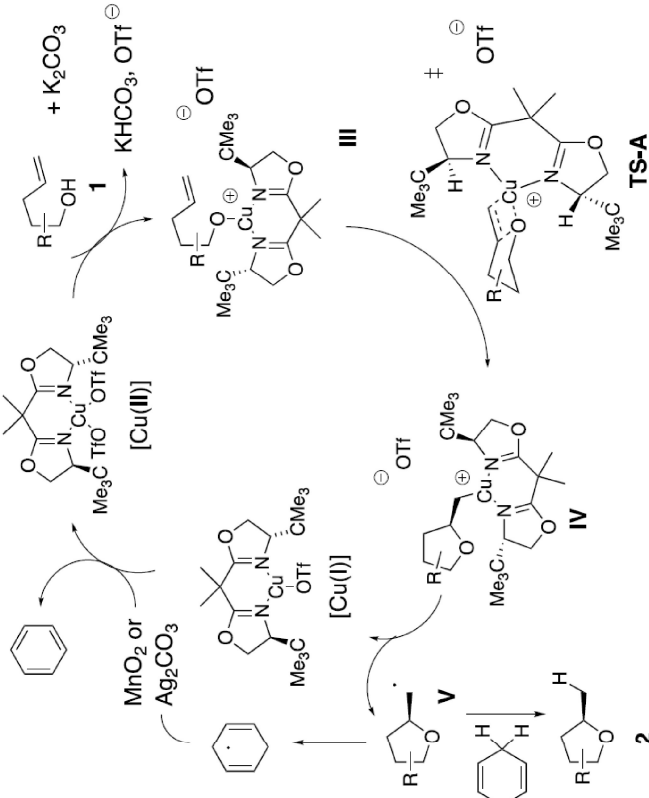


Chemler *Org. Lett.* 2020, 22, 7409

II – Catalyse organométallique asymétrique homogène 5 – formation de liaisons C–X énantiospécifique

Cu

Hydroalcoxylation d'alcènes



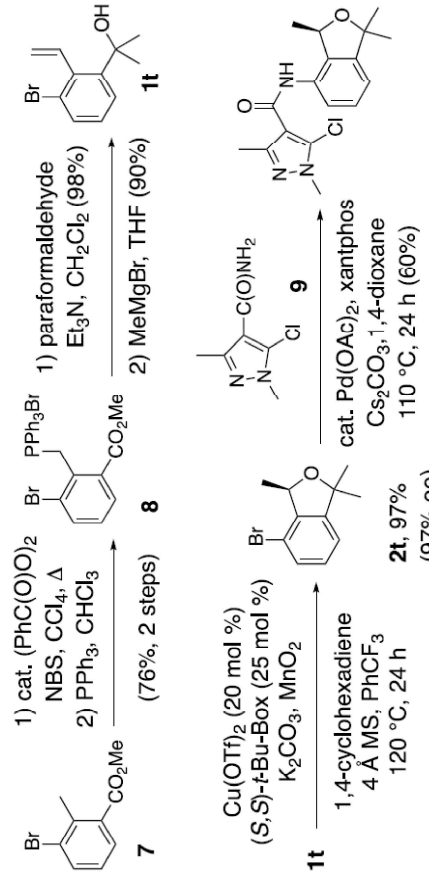
Chemler Org. Lett. 2020, 22, 7409

II – Catalyse organométallique asymétrique homogène 5 – formation de liaisons C–X énantiospécifique

Cu

Hydroalcoxylation d'alcènes
Application à la synthèse d'un antifongique : furametpyr (anti Rhizoctonua solani responsable de la brûlure de la gaine du riz)

Scheme 6. Enantioselective Synthesis of (*R*)-(+)-Furametpyr



Corrélation du (+)-furametpyr avec la configuration *R* pour la première fois.

Chemler Org. Lett. 2020, 22, 7409